

Retrouver l'équation du mouvement du pendule simple avec les équations de Lagrange

On a l'équation de Lagrange dans le cours

Lagrangien $L = E_c - E_p$

$$\frac{d}{dt} \left[\frac{\partial L}{\partial \dot{x}_i} \right] - \frac{\partial L}{\partial x_i} = Q_i \quad \left(\frac{\partial E_p}{\partial \dot{x}_i} = 0 \right)$$

Pour le pendule simple, on a trouvé

$$E_c(m / \mathcal{R}_0) = \frac{m a^2 \dot{\theta}^2}{2}$$

$$E_p(m / \mathcal{R}_0) = -m g a \cos \theta + Cte$$

Donc, on a

$$L = E_c - E_p = \frac{m a^2 \dot{\theta}^2}{2} + m g a \cos \theta - Cte$$

On a $Q=0$ car il n'y a pas de force extérieure.

Donc

$$m a^2 \ddot{\theta} + m g a \sin \theta = 0 \quad \text{C'est l'équation de Lagrange}$$

MecaNum_practice2019def.pdf

Oscillateur conservatif linéaire à un degré de liberté

1.1

$$\ddot{q} + \omega_0^2 q = 0$$

 $q = A \sin(\omega_0 t) + B \cos(\omega_0 t)$
 $\omega_0 = 2\pi \quad q_0 = 1 \quad q'_0 = 0 \quad T_0 = 3$
 $A = 0 \quad B = 1$
 $q = \cos(2\pi t)$

```
clear all;
w0=2*pi;
q0=1;
dq0=0;
T0=3;
n=300;
dt=T0/n;
%1.1
subplot(7,2,1)
plot(1:n, cos(2*pi*(1:n)*dt))
E=2*pi^2*ones(1,n);
subplot(7,2,2)
plot(1:n,E)
```

1.2

$$E^* = \frac{1}{2} (\dot{q}^2 + \omega_0^2 q^2)$$

$$E^* = \frac{1}{2} (4\pi^2 \sin^2(2\pi t) + 4\pi^2 \cos^2(2\pi t)) = 2\pi^2$$

C'est une constante

2.1

$$\ddot{q} + \omega_0^2 q = 0 \quad \text{et} \quad \begin{vmatrix} q_{j+1} \\ \dot{q}_{j+1} \end{vmatrix} = \begin{vmatrix} q_j \\ \dot{q}_j \end{vmatrix} + \Delta t \times \begin{vmatrix} \dot{q}_j \\ \ddot{q}_j \end{vmatrix}$$

On a

Par EULER explicite, $q_{i+1} = q_i + h \times f(t_i, q_i)$

$$\text{Donc, } \begin{cases} \dot{q}_j = \dot{q}_j \\ \ddot{q}_j = -\omega_0^2 q_j \end{cases}$$

$$\text{Donc, } \begin{pmatrix} q_{j+1} \\ \dot{q}_{j+1} \end{pmatrix} = \begin{pmatrix} q_j \\ \dot{q}_j \end{pmatrix} + \Delta t \times \begin{pmatrix} \dot{q}_j \\ -\omega_0^2 q_j \end{pmatrix}$$

$$\text{Donc, on a } \begin{vmatrix} q_{j+1} \\ \dot{q}_{j+1} \end{vmatrix} = \begin{bmatrix} 1 & \Delta t \\ -\omega_0^2 \Delta t & 1 \end{bmatrix} \begin{vmatrix} q_j \\ \dot{q}_j \end{vmatrix}$$

2.2

Méthode 2:

```

clear all;
w0=2*pi;
q0=1;
dq0=0;
T0=3;
n=300;
dt=T0/n;
%1.1
subplot(7,2,1)
plot(1:n,cos(2*pi*(1:n)*dt))
E=2*pi^2*ones(1,n);
subplot(7,2,2)
plot(1:n,E)

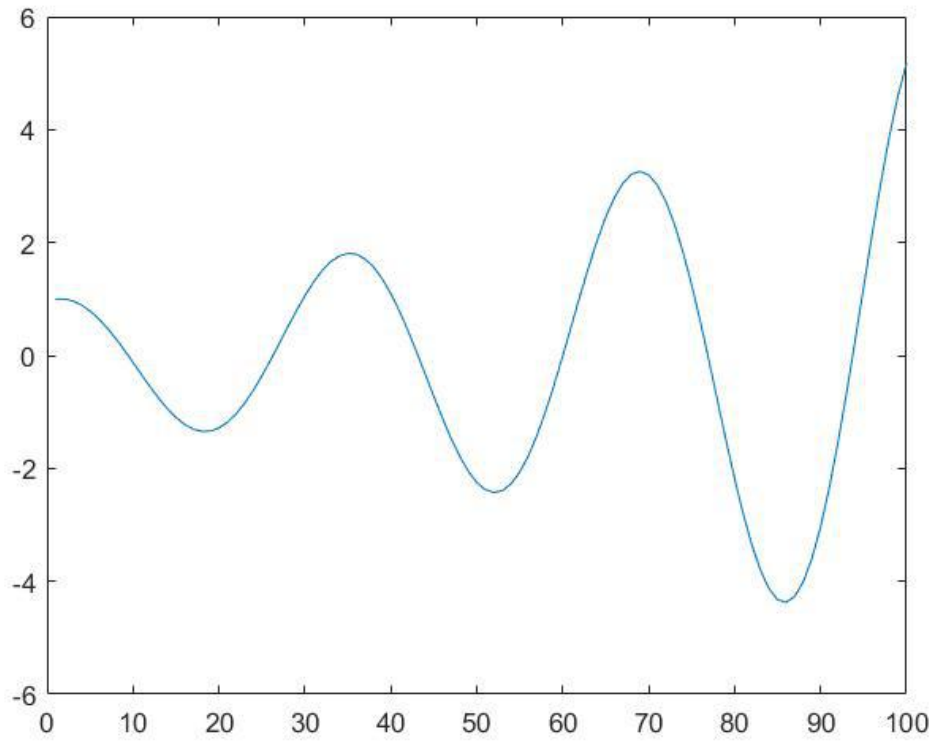
%2.2
A=[1 dt;-w0^2*dt 1];
[X1,A1]=eig(A);
U(:,1)=[q0;dq0];
E1(1)=1/2*((dq0)^2+w0^2*(q0)^2);
for i=1:n-1
    U(:,i+1)=A*U(:,i);
    E1(i+1)=1/2*((U(2,i))^2+w0^2*(U(1,i))^2);
end

subplot(7,2,3)
plot(1:n,U(1,:))
subplot(7,2,4)
plot(1:n,E1)

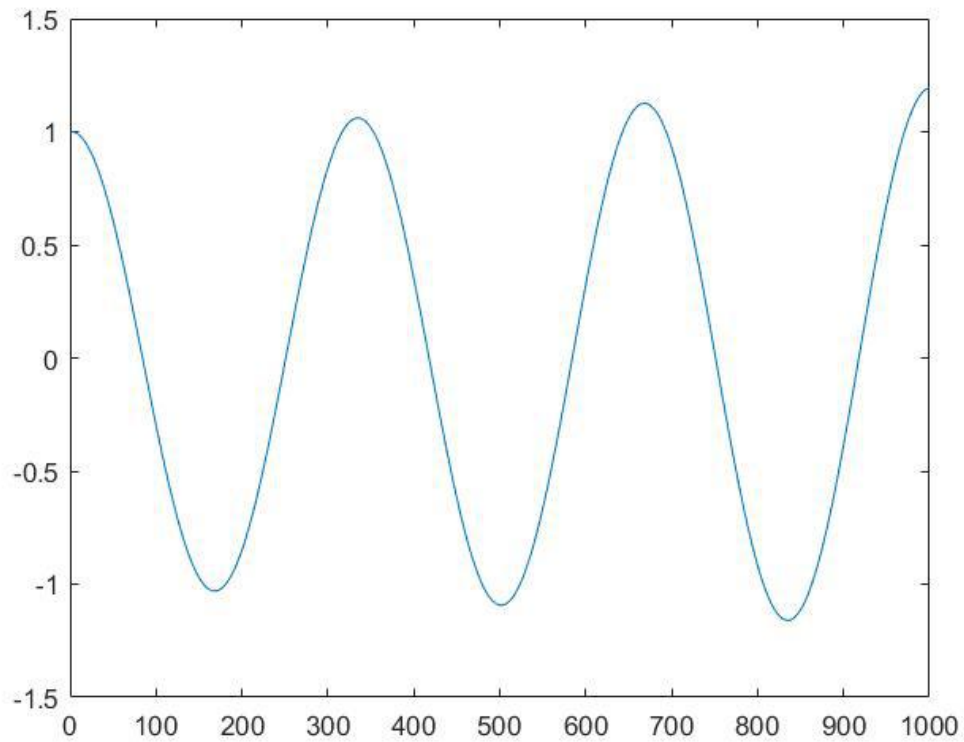
```

2.3

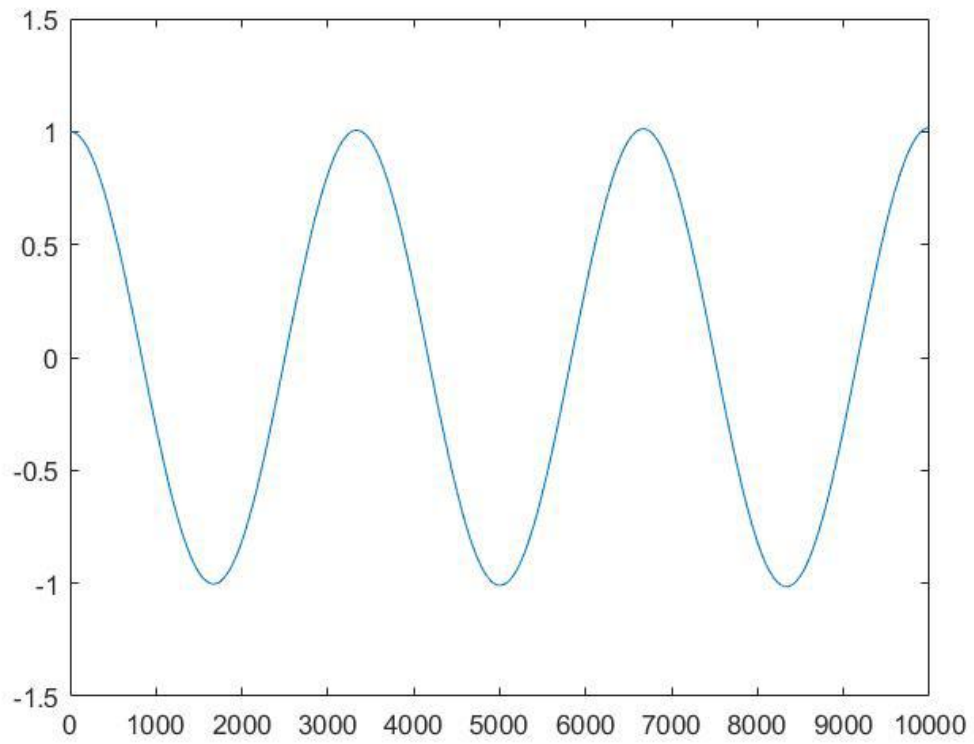
n=100



n=1000



n=10000



On peut voir que quand n devient grand c'est-à-dire que dt devient petit, la divergence devient lente.

2.4

E1										
1x300 double										
1	2	3	4	5	6	7	8	9	10	
19.7392	19.7392	19.8171	19.8954	19.9739	20.0528	20.1319	20.2114	20.2912	20.3713	^

E1										
1x300 double										
	295	296	297	298	299	300	301	302	303	304
14	62.6177	62.8649	63.1130	63.3622	63.6123	63.8635				

On a celle à partir de la solution exacte : $E^*=2*\pi= 19.7392$

En comparant les valeurs, celle de logiciel augmente avec le temp, c'est-à-dire avec la divergence.

Donc, un plus dt petit possible est plus correcte.

2.5

$$A = \begin{pmatrix} 1 & \Delta t \\ -\omega_0^2 \Delta t & 1 \end{pmatrix}$$

$$\det(\lambda I - A) = \begin{vmatrix} \lambda - 1 & -\Delta t \\ \omega_0^2 \Delta t & \lambda - 1 \end{vmatrix} = \lambda^2 - 2\lambda + 1 + \omega^2 \Delta t^2$$

$$\lambda = \frac{2 \pm i\omega\Delta t}{2}$$

$$|\lambda| > 1$$

donc, il est toujours instable.

```

3.1
clear all;
w0=2*pi;
q0=1;
dq0=0;
T0=3;
n=300;
dt=T0/n;
%1.1
subplot(7,2,1)
plot(1:n,cos(2*pi*(1:n)*dt))
E=2*pi^2*ones(1,n);
subplot(7,2,2)
plot(1:n,E)

%2.2
A=[1 dt;-w0^2*dt 1];
[X1,A1]=eig(A);
U(:,1)=[q0;dq0];
E1(1)=1/2*((dq0)^2+w0^2*(q0)^2);
for i=1:n-1
    U(:,i+1)=A*U(:,i);
    E1(i+1)=1/2*((U(2,i))^2+w0^2*(U(1,i))^2);
end

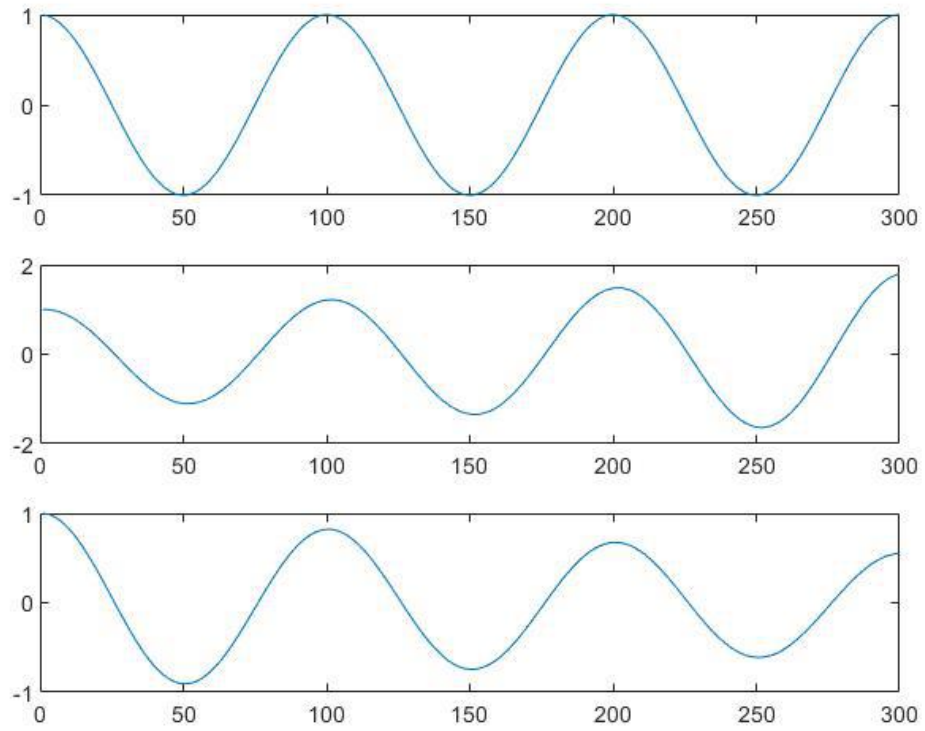
subplot(7,2,3)
plot(1:n,U(1,:))
subplot(7,2,4)
plot(1:n,E1)

%3.1
B=inv([1 -dt;w0^2*dt 1]);
[X2,B1]=eig(B);
U2(:,1)=[q0;dq0];
E2(1)=1/2*((dq0)^2+w0^2*(q0)^2);
for i=1:n-1
    U2(:,i+1)=B*U2(:,i);
    E2(i+1)=1/2*((U2(2,i))^2+w0^2*(U2(1,i))^2);
end

subplot(7,2,5)
plot(1:n,U2(1,:))
subplot(7,2,6)
plot(1:n,E2)

```

3.2

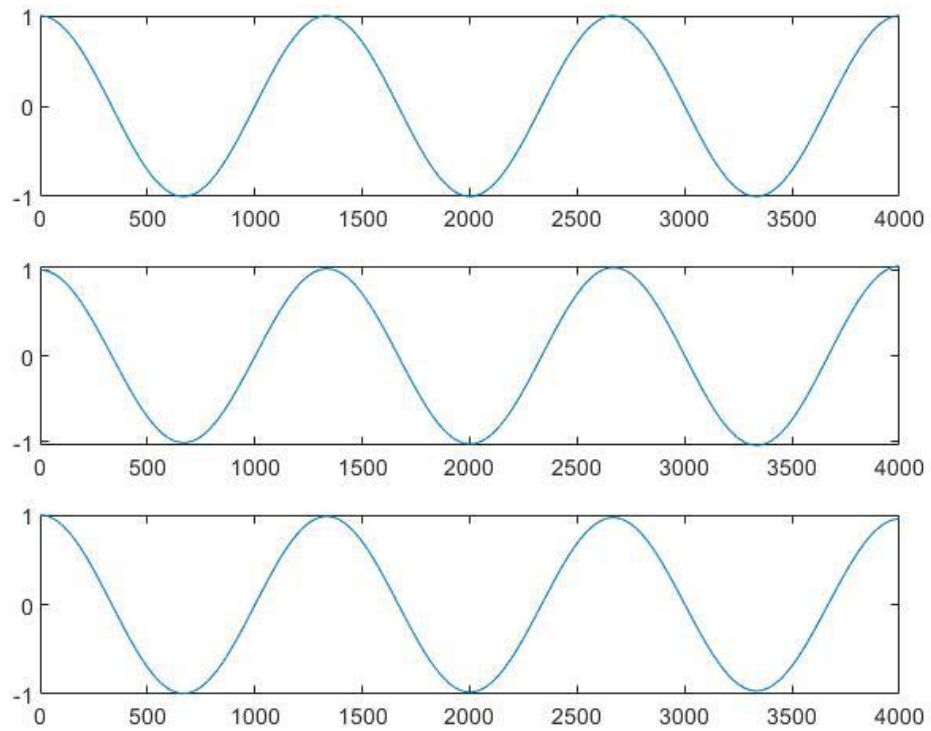


La première est la solution exacte, la deuxième est EULER explicite et la troisième est EULER implicite. Comme on voit, la solution exacte est la plus bonne, EULER explicite diverge et EULER implicite converge.

3.3

$n=4000$

C'est-à-dire que $dt=0.00075$



3.4

On a celle à partir de la solution exacte : $E^*=2*\pi= 19.7392$

EULER explicite

E1										
1x300 double										
1	2	3	4	5	6	7	8	9	10	
19.7392	19.7392	19.8171	19.8954	19.9739	20.0528	20.1319	20.2114	20.2912	20.3713	^

E1										
1x300 double										
	295	296	297	298	299	300	301	302	303	304
14	62.6177	62.8649	63.1130	63.3622	63.6123	63.8635				

EULER implicite

X1 E2										
1x300 double										
1	2	3	4	5	6	7	8	9	10	
19.7392	19.7392	19.6616	19.5843	19.5073	19.4306	19.3541	19.2780	19.2022	19.1267	^

X1 E2										
1x300 double										
291	292	293	294	295	296	297	298	299	300	301
6.3213	6.2965	6.2717	6.2470	6.2225	6.1980	6.1736	6.1494	6.1252	6.1011	^

Comme on voit que, la valeur de E^* de EULER implicite diminue.

Le plus petit dt est, le plus précis la simulation est.

3.5

$-0.0000 - 0.1572i$

$0.9876 + 0.0000i$

Les modules sont tous inférieure que 1, donc, il est stable.

4.1

$$\ddot{q} + \omega_0^2 q = 0$$

$$\begin{cases} \dot{q} = p \\ \dot{p} = -\omega_0^2 q \end{cases}$$

$$\begin{pmatrix} q_{j+1} \\ \dot{q}_{j+1} \end{pmatrix} = \begin{pmatrix} 0 & 1 \\ -\omega_0^2 & 0 \end{pmatrix} \begin{pmatrix} q_j \\ \dot{q}_j \end{pmatrix} \Delta t + \begin{pmatrix} q_j \\ \dot{q}_j \end{pmatrix}$$

```

4.2
clear all;
w0=2*pi;
q0=1;
dq0=0;
T0=3;
n=300;
dt=T0/n;
%1.1
subplot(7,2,1)
plot(1:n,cos(2*pi*(1:n)*dt))
E=2*pi^2*ones(1,n);
subplot(7,2,2)
plot(1:n,E)

%2.2
A=[1 dt;-w0^2*dt 1];
[X1,A1]=eig(A);
U(:,1)=[q0;dq0];
E1(1)=1/2*((dq0)^2+w0^2*(q0)^2);
for i=1:n-1
    U(:,i+1)=A*U(:,i);
    E1(i+1)=1/2*((U(2,i))^2+w0^2*(U(1,i))^2);
end

subplot(7,2,3)
plot(1:n,U(1,:))
subplot(7,2,4)
plot(1:n,E1)

%3.1
B=inv([1 -dt;w0^2*dt 1]);
[X2,B1]=eig(B);
U2(:,1)=[q0;dq0];
E2(1)=1/2*((dq0)^2+w0^2*(q0)^2);
for i=1:n-1
    U2(:,i+1)=B*U2(:,i);
    E2(i+1)=1/2*((U2(2,i))^2+w0^2*(U2(1,i))^2);
end

subplot(7,2,5)
plot(1:n,U2(1,:))
subplot(7,2,6)
plot(1:n,E2)

```



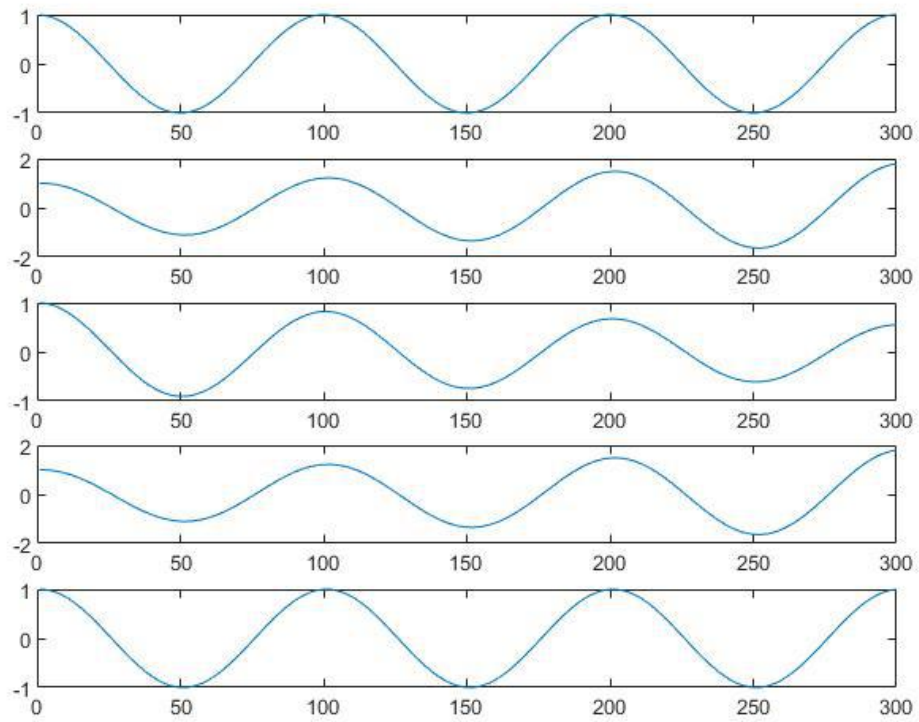
```

%4.2
%ordre 1
C=[0 1;-w0^2 0];
U3(:,1)=[q0;dq0];
E3(1)=1/2*((dq0)^2+w0^2*(q0)^2);
for i=1:n-1
    U3(:,i+1)=U3(:,i)+C*U3(:,i)*dt;
    E3(i+1)=1/2*((U3(2,i))^2+w0^2*(U3(1,i))^2);
end
subplot(7,2,7)
plot(1:n,U3(1,:))
subplot(7,2,8)
plot(1:n,E3)

%ordre 4
U4(:,1)=[q0;dq0];
E4(1)=1/2*((dq0)^2+w0^2*(q0)^2);
for i=1:n-1
    k1=C*U4(:,i);
    k2=C*(U4(:,i)+1/2*k1*dt);
    k3=C*(U4(:,i)+1/2*k2*dt);
    k4=C*(U4(:,i)+k3*dt);
    U4(:,i+1)=U4(:,i)+(k1+2*k2+2*k3+k4)/6*dt;
    E4(i+1)=1/2*((U4(2,i))^2+w0^2*(U4(1,i))^2);
end
subplot(7,2,9)
plot(1:n,U4(1,:))
subplot(7,2,10)
plot(1:n,E4)

```

4.3



On peut voir que la méthode de RUNGE KUTTA de ordre 4 est plus précis par rapport à la solution exacte.

4.4

EULER explicite

E1										
1x300 double										
1	2	3	4	5	6	7	8	9	10	
19.7392	19.7392	19.8171	19.8954	19.9739	20.0528	20.1319	20.2114	20.2912	20.3713	^

E1										
1x300 double										
	295	296	297	298	299	300	301	302	303	304
14	62.6177	62.8649	63.1130	63.3622	63.6123	63.8635				^

EULER implicite

X1 E2										
1x300 double										
1	2	3	4	5	6	7	8	9	10	
19.7392	19.7392	19.6616	19.5843	19.5073	19.4306	19.3541	19.2780	19.2022	19.1267	^

X1 E2										
1x300 double										
291	292	293	294	295	296	297	298	299	300	301
6.3213	6.2965	6.2717	6.2470	6.2225	6.1980	6.1736	6.1494	6.1252	6.1011	^

RUNGE-KUTTA

E4										
1x299 double										
1	2	3	4	5	6	7	8	9	10	
19.7392	19.7392	19.7392	19.7392	19.7392	19.7392	19.7392	19.7392	19.7392	19.7392	^

E4										
1x299 double										
	294	295	296	297	298	299	300	301	302	303
92	19.7392	19.7392	19.7392	19.7392	19.7392	19.7392				^

On peut voir que la quantité E* de RUNGE KUTTA d'ordre 4 est plus précis par rapport à celle exacte, ni converge ni diverge.

```

5.1.1
clear all;
w0=2*pi;
q0=1;
dq0=0;
T0=3;
n=300;
dt=T0/n;
%1.1
subplot(7,2,1)
plot(1:n,cos(2*pi*(1:n)*dt))
E=2*pi^2*ones(1,n);
subplot(7,2,2)
plot(1:n,E)

%2.2
A=[1 dt;-w0^2*dt 1];
[X1,A1]=eig(A);
U(:,1)=[q0;dq0];
E1(1)=1/2*((dq0)^2+w0^2*(q0)^2);
for i=1:n-1
    U(:,i+1)=A*U(:,i);
    E1(i+1)=1/2*((U(2,i))^2+w0^2*(U(1,i))^2);
end

subplot(7,2,3)
plot(1:n,U(1,:))
subplot(7,2,4)
plot(1:n,E1)

%3.1
B=inv([1 -dt;w0^2*dt 1]);
[X2,B1]=eig(B);
U2(:,1)=[q0;dq0];
E2(1)=1/2*((dq0)^2+w0^2*(q0)^2);
for i=1:n-1
    U2(:,i+1)=B*U2(:,i);
    E2(i+1)=1/2*((U2(2,i))^2+w0^2*(U2(1,i))^2);
end

subplot(7,2,5)
plot(1:n,U2(1,:))
subplot(7,2,6)
plot(1:n,E2)

```

```

%4.2
%ordre 1
C=[0 1;-w0^2 0];
U3(:,1)=[q0;dq0];
E3(1)=1/2*((dq0)^2+w0^2*(q0)^2);
for i=1:n-1
    U3(:,i+1)=U3(:,i)+C*U3(:,i)*dt;
    E3(i+1)=1/2*((U3(2,i))^2+w0^2*(U3(1,i))^2);
end
subplot(7,2,7)
plot(1:n,U3(1,:))
subplot(7,2,8)
plot(1:n,E3)

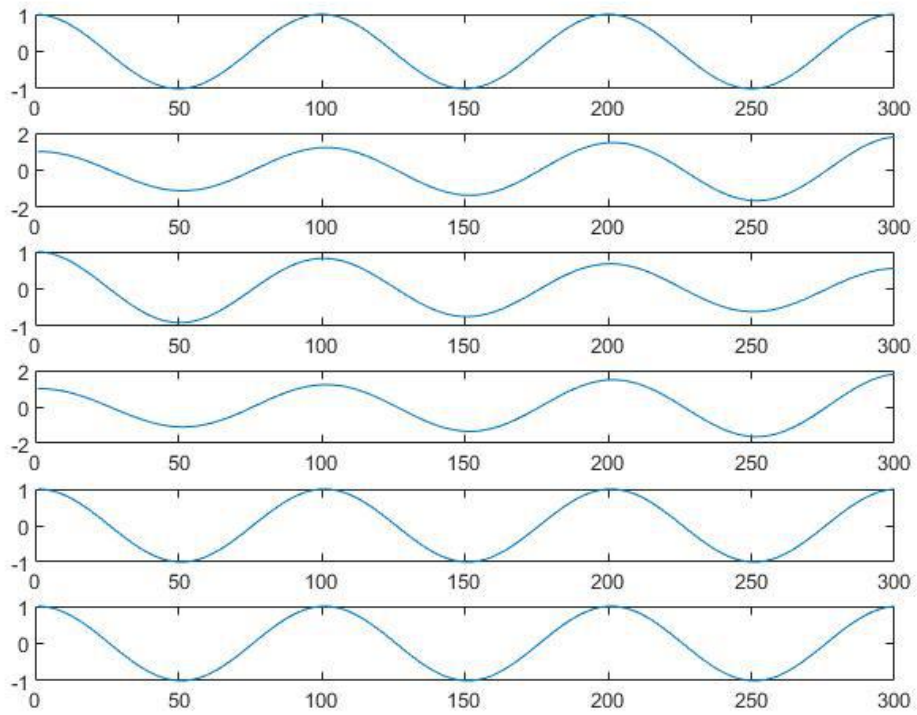
%ordre 4
U4(:,1)=[q0;dq0];
E4(1)=1/2*((dq0)^2+w0^2*(q0)^2);
for i=1:n-1
    k1=C*U4(:,i);
    k2=C*(U4(:,i)+1/2*k1*dt);
    k3=C*(U4(:,i)+1/2*k2*dt);
    k4=C*(U4(:,i)+k3*dt);
    U4(:,i+1)=U4(:,i)+(k1+2*k2+2*k3+k4)/6*dt;
    E4(i+1)=1/2*((U4(2,i))^2+w0^2*(U4(1,i))^2);
end
subplot(7,2,9)
plot(1:n,U4(1,:))
subplot(7,2,10)
plot(1:n,E4)

%5.1
y=0.5;
b=0.25;
U5(:,1)=[q0;dq0];
E5(1)=1/2*((dq0)^2+w0^2*(q0)^2);
D=[1+b*dt^2*w0^2 0;y*dt*w0^2 1];
EE=[1-(0.5-b)*dt^2*w0^2 dt;-(1-y)*dt*w0^2 1];
F=inv(D)*EE;
[X5,F1]=eig(F);
for i=1:n-1
    U5(:,i+1)=F*U5(:,i);
    E5(i+1)=1/2*((U5(2,i))^2+w0^2*(U5(1,i))^2);
end
subplot(7,2,11)

```

```
plot(1:n,U5(1,:))  
subplot(7,2,12)  
plot(1:n,E5)
```

5.1.2



La méthode de NEWMARK est autant précise que la méthode de RUNGE KUTTA.

5.1.3

EULER explicite

E1										
1x300 double										
1	2	3	4	5	6	7	8	9	10	
19.7392	19.7392	19.8171	19.8954	19.9739	20.0528	20.1319	20.2114	20.2912	20.3713	^

E1										
1x300 double										
	295	296	297	298	299	300	301	302	303	304
14	62.6177	62.8649	63.1130	63.3622	63.6123	63.8635				

EULER implicite

X1 E2										
1x300 double										
1	2	3	4	5	6	7	8	9	10	
19.7392	19.7392	19.6616	19.5843	19.5073	19.4306	19.3541	19.2780	19.2022	19.1267	^

X1 E2										
1x300 double										
291	292	293	294	295	296	297	298	299	300	301
6.3213	6.2965	6.2717	6.2470	6.2225	6.1980	6.1736	6.1494	6.1252	6.1011	^

RUNGE-KUTTA

E4										
1x299 double										
1	2	3	4	5	6	7	8	9	10	
19.7392	19.7392	19.7392	19.7392	19.7392	19.7392	19.7392	19.7392	19.7392	19.7392	^

E4										
1x299 double										
	294	295	296	297	298	299	300	301	302	303
92	19.7392	19.7392	19.7392	19.7392	19.7392	19.7392				

NEWMARK

E5										
1x299 double										
1	2	3	4	5	6	7	8	9	10	
19.7392	19.7392	19.7392	19.7392	19.7392	19.7392	19.7392	19.7392	19.7392	19.7392	^

E5										
1x299 double										
	294	295	296	297	298	299	300	301	302	303
92	19.7392	19.7392	19.7392	19.7392	19.7392	19.7392				

On peut voir que la valeur est exactement la même de la solution exacte.

5.1.4

$-0.0000000000000000 - 0.157176725477590i$

$0.987570492151392 + 0.0000000000000000i$

Il est stable car les modules sont tous inférieures que 1

5.2.1

```

clear all;
w0=2*pi;
q0=1;
dq0=0;
T0=3;
n=300;
dt=T0/n;
%1.1
subplot(7,2,1)
plot(1:n,cos(2*pi*(1:n)*dt))
E=2*pi^2*ones(1,n);
subplot(7,2,2)
plot(1:n,E)

```

%2.2

```

A=[1 dt;-w0^2*dt 1];
[X1,A1]=eig(A);
U(:,1)=[q0;dq0];
E1(1)=1/2*((dq0)^2+w0^2*(q0)^2);
for i=1:n-1
    U(:,i+1)=A*U(:,i);
    E1(i+1)=1/2*((U(2,i))^2+w0^2*(U(1,i))^2);
end

```

```

subplot(7,2,3)
plot(1:n,U(1,:))
subplot(7,2,4)
plot(1:n,E1)

```

%3.1

```

B=inv([1 -dt;w0^2*dt 1]);
[X2,B1]=eig(B);
U2(:,1)=[q0;dq0];
E2(1)=1/2*((dq0)^2+w0^2*(q0)^2);
for i=1:n-1
    U2(:,i+1)=B*U2(:,i);
    E2(i+1)=1/2*((U2(2,i))^2+w0^2*(U2(1,i))^2);
end
subplot(7,2,5)
plot(1:n,U2(1,:))
subplot(7,2,6)
plot(1:n,E2)

```

```

%4.2
%ordre 1
C=[0 1;-w0^2 0];
U3(:,1)=[q0;dq0];
E3(1)=1/2*((dq0)^2+w0^2*(q0)^2);
for i=1:n-1
    U3(:,i+1)=U3(:,i)+C*U3(:,i)*dt;
    E3(i+1)=1/2*((U3(2,i))^2+w0^2*(U3(1,i))^2);
end
subplot(7,2,7)
plot(1:n,U3(1,:))
subplot(7,2,8)
plot(1:n,E3)

%ordre 4
U4(:,1)=[q0;dq0];
E4(1)=1/2*((dq0)^2+w0^2*(q0)^2);
for i=1:n-1
    k1=C*U4(:,i);
    k2=C*(U4(:,i)+1/2*k1*dt);
    k3=C*(U4(:,i)+1/2*k2*dt);
    k4=C*(U4(:,i)+k3*dt);
    U4(:,i+1)=U4(:,i)+(k1+2*k2+2*k3+k4)/6*dt;
    E4(i+1)=1/2*((U4(2,i))^2+w0^2*(U4(1,i))^2);
end
subplot(7,2,9)
plot(1:n,U4(1,:))
subplot(7,2,10)
plot(1:n,E4)

%5.1
y=0.5;
b=0.25;
U5(:,1)=[q0;dq0];
E5(1)=1/2*((dq0)^2+w0^2*(q0)^2);
D=[1+b*dt^2*w0^2 0;y*dt*w0^2 1];
EE=[1-(0.5-b)*dt^2*w0^2 dt;-(1-y)*dt*w0^2 1];
F=inv(D)*EE;
[X5,F1]=eig(F);
for i=1:n-1
    U5(:,i+1)=F*U5(:,i);
    E5(i+1)=1/2*((U5(2,i))^2+w0^2*(U5(1,i))^2);
end
subplot(7,2,11)

```

```

plot(1:n,U5(1,:))
subplot(7,2,12)
plot(1:n,E5)

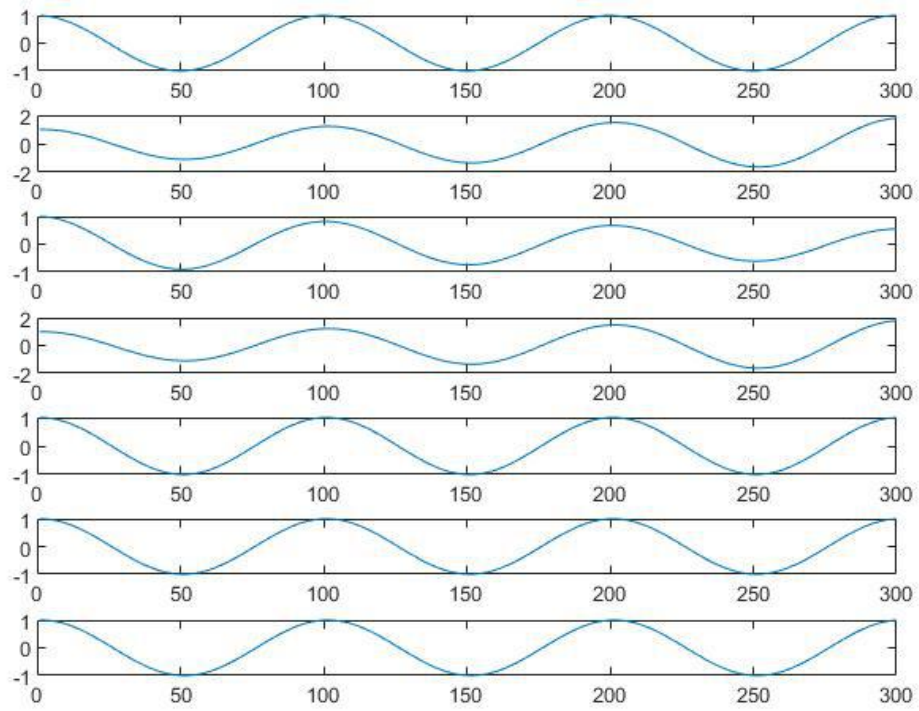
%5.2
y2=0.5;
b2=0;
U6(:,1)=[q0;dq0;0];
E6(1)=1/2*((dq0)^2+w0^2*(q0)^2);
G=[1 0 0;w0^2 0 1;0 1 -dt/2];
H=[1 dt dt^2/2;0 0 0;0 1 dt/2];
[X6,G6]=eig(inv(G)*H);

for i=1:n-1
    U6(1,i+1)=U6(1,i)+dt*U6(2,i)+dt^2/2*U6(3,i);
    U6(3,i+1)=-w0^2*U6(1,i+1);
    U6(2,i+1)=U6(2,i)+dt/2*(U6(3,i)+U6(3,i+1));
    E6(i+1)=1/2*((U6(2,i))^2+w0^2*(U6(1,i))^2);
end

subplot(7,2,13)
plot(1:n,U6(1,:))
subplot(7,2,14)
plot(1:n,E6)

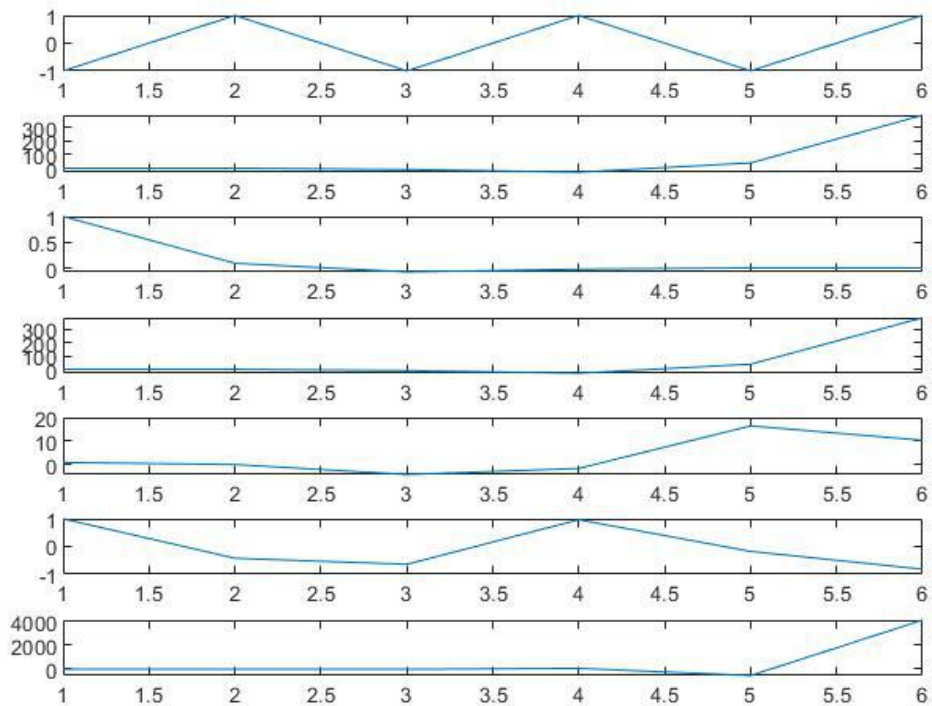
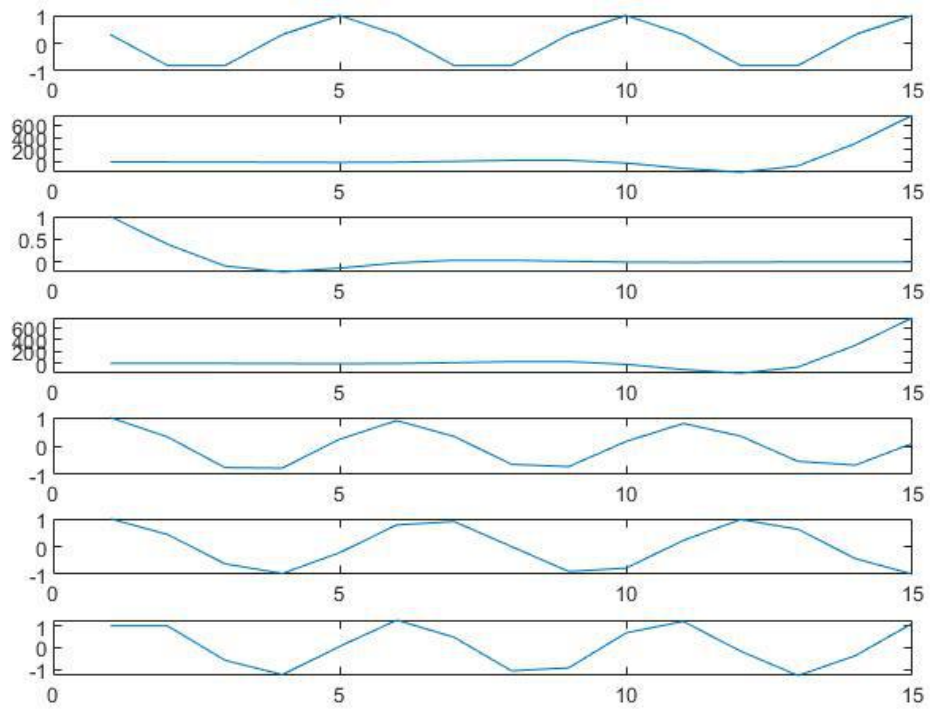
```

5.2.2



C'est plus précis.

5.2.3



Il y a plus de l'oscillation quand b devient petit.

5.2.4

Les valeurs propres :

$2.523478242613594e-17 + 0.000000000000000e+00i$

$0.998026079119782 + 0.062800839140846i$

$0.998026079119782 - 0.062800839140846i$

$\varepsilon = 0$

$$\text{et } \Delta t_c = \frac{2\varepsilon}{\omega_0}$$

donc $\Delta t_c = 0$ et $\alpha = 0$

dans le logiciel on trouve que

$n=37$

$dt=0.0811$

$a=0.2547$

il converge critiquement, mais c'est pas précis.